

پیاده‌سازی روش مدولاسیون پهنه‌ای پالس جهت افزایش بهره و لتاژ A-source استرس و لتاژ المان‌ها در مبدل

فاطمه ظهرابی، ابراهیم عبیری و امیرحسین رجائی

عنوان پارامترهای کنترلی در بهره مبدل Z-source می‌باشد و باعث موازنی بین کیفیت توان خروجی و قابلیت افزایش بهره سیستم می‌شوند، یعنی افزایش ضریب بسته با کاهش ضریب مدولاسیون همراه است [۲]. در کاربردهای نظری سیستم فتوولتائیک متصل به شبکه تک مرحله‌ای برای رسیدن به لتاژ شبکه معمولاً بهره و لتاژ بالا نیاز است. ولتاژ خروجی شبکه فتوولتائیک می‌تواند با افزایش تعداد مازول‌های سری افزایش یابد. این روش قبل اطمینان نیست چون خرابشدن یکی از مازول‌های شبکه فتوولتائیک منجر به تلفات زیادی می‌شود [۳].

به منظور افزایش ولتاژ می‌توان یک مبدل افزاینده به سیستم فتوولتائیک اضافه نمود و بنابراین سیستم فتوولتائیک دومرحله‌ای به وجود خواهد آمد که نیازمند مدار کنترلی اضافی است. در این روش، سیستم تبدیل پیچیده‌تر می‌شود و سخت‌افزار سیستم نیز افزایش می‌باید [۴].

در سال‌های اخیر، محققان ساختارهای مختلفی از مبدل Z-source مطرح نموده‌اند. برخی از آنها مطالعات خود را بر روی مدل سازی، کنترل، کاربردها و روش‌های مدولاسیون مبدل Z-source متمرکز نموده‌اند [۱] و [۵] تا [۹].

دیگران بر روی ساختارهای جدید از مبدل Z-source تمرکز نموده‌اند [۱۰] تا [۱۲]. مطالعاتی بر روی بهبود توان مبدل و کاهش استرس خازن، سلف و کلیدها صورت گرفته است. برخی از مطالعات بر روی روش‌های مدولاسیون پهنه‌ای پالس برای کنترل مدت زمان اتصال کوتاه به منظور رسیدن به بهره بالا و محدود کردن استرس ولتاژ کلیدها تمرکز شده‌اند [۱]، [۵] و [۶]. برخی از محققان تلاش کرده‌اند که ساختارهای مختلفی از شبکه امپدانسی را گسترش دهند تا استرس ولتاژ کلیدها را کاهش و بهره ولتاژ را افزایش دهند [۱۱] و [۱۳].

روش کنترلی بسته ساده در [۱] بیان شده است. در این روش کنترلی، استرس ولتاژ کلیدها بالاست که باعث محدود شدن بهره و لتاژ می‌شود. روش کنترلی ماکسیمم بسته برای رسیدن به کمترین استرس ولتاژ کلیدها در [۵] آمده است. در روش کنترلی MSVPWM، مدولاسیون پهنه‌ای پالس بردار فضایی اصلاح شده، بیان شده است [۱۴].

روش مدولاسیون بردار فضایی در مقایسه با روش‌های بسته ساده، ماکسیمم بسته و ماکسیمم بسته ثابت در محدوده وسیع‌تری از ضریب مدولاسیون دارای بهره مساوی می‌باشد اما استرس ولتاژ کلیدها بیشتر از روش کنترلی بسته ساده است. بررسی کاملی از روش مدولاسیون پهنه‌ای پالس در [۷] و [۸] بیان شده است. ایراد تمامی روش‌های گفته شده این است که محدود وسیعی از بهره و لتاژ بالا در محدوده کوچکی از ضریب مدولاسیون به دست می‌آید که ناشی از رابطه بین بهره و لتاژ و ضریب مدولاسیون و مدت زمان اتصال کوتاه می‌باشد.

به منظور افزایش بهره و لتاژ مبدل Z-source شبکه امپدانسی با کوپلینگ مغناطیسی تحت عنوان trans-Z-source پیشنهاد شد. اساس

چکیده: مبدل Z-source به عنوان یک مبدل توان DC به AC باک-بوست تک مرحله‌ای در سال ۲۰۰۳ مطرح شد. ساختارهای متفاوتی از مبدل‌های منبع امپدانس برای بهبود عملکرد مبدل‌های توان در مقایلهای مختلف معرفی شده‌اند. این مبدل‌ها با ساختار خاصی که دارند از اتصال کوتاه برای افزایش ولتاژ خروجی استفاده می‌کنند و بنابراین ضمن بالا بردن قابلیت اطمینان سیستم، تبدیل DC به AC تک مرحله‌ای را با قابلیت افزایش و کاهش ولتاژ ایجاد می‌کنند. یکی از مبدل‌های منبع امپدانس جدیدی که اخیراً معرفی شده است، مبدل A-source می‌باشد. برای بهبود توانایی افزایش بهره و کاهش تلفات کلیدزنی، روش جدیدی از مدولاسیون پهنه‌ای پالس معرفی می‌گردد. در این روش با تزریق هارمونیک سوم و تولید ولتاژهای مرجع جدید در مبدل A-source سه‌فاز، مدت زمان اتصال کوتاه، کنترل می‌گردد. روش مدولاسیون پیشنهادی، تلفات کلیدزنی را کاهش و بهره و لتاژ را افزایش می‌دهد، بدون این که سخت‌افزار اضافی به ساختار مبدل اضافه کند. در این روش، همچنان ساختار تک مرحله‌ای باک-بوست بودن مبدل حفظ شده است. در این مقاله، روش پیشنهادی تحلیل و با روش مدولاسیون پهنه‌ای پالس مرسوم مقایسه می‌شود. همچنین با تزریق هارمونیک سوم، ضریب مدولاسیون به ۱/۱۵ افزایش می‌باید که باعث کاهش استرس ولتاژ کلیدها می‌شود. شبیه‌سازی روش پیشنهادی، روش‌های مرسوم، نتایج آن و تحلیل‌های صورت گرفته، توانایی سیستم اثبات شده را اثبات می‌کند.

کلیدواژه: تزریق هارمونیک سوم، ضریب بسته، ضریب مدولاسیون، مبدل منبع امپدانس.

۱- مقدمه

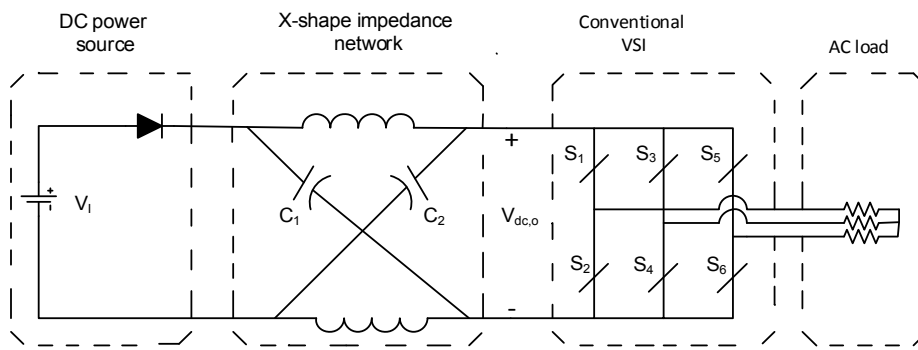
مبدل منبع ولتاژ مرسوم به عنوان مبدل کاهنده در تبدیل DC به AC و مبدل منبع جریان به عنوان مبدل افزاینده در تبدیل DC به AC کاهنده ولتاژ باشند و بنابراین در کاربردهایی که نیاز است بتوان ولتاژ ورودی را افزایش یا کاهش داد از مبدل Z-source استفاده می‌شود [۱]. شکل ۱ ساختار کلی این مبدل را نشان می‌دهد. از نظر تئوری، مبدل Z-source می‌تواند بهره و لتاژ نامحدودی تولید کند اما از لحاظ عملی اثر قسمت‌های پارازیتی باعث محدود شدن بهره می‌گردد. به عبارت دیگر در تمامی روش‌های مدولاسیون این مبدل، بین مدت زمان اتصال کوتاه و ضریب مدولاسیون وابستگی وجود دارد. ضریب مدولاسیون و مدت زمان اتصال کوتاه به

این مقاله در تاریخ ۱۰ شهریور ماه ۱۳۹۶ دریافت و در تاریخ ۲۸ بهمن ماه ۱۳۹۶ بازنگری شد.

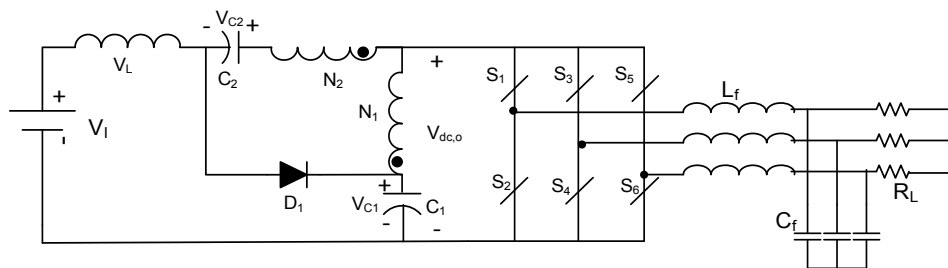
فاطمه ظهرابی (نویسنده مسئول)، گروه برق، دانشکده مهندسی، دانشگاه صنعتی شیراز، شیراز، ایران، (email: fa_zohrabi@yahoo.com).

ابراهیم عبیری، گروه برق، دانشکده مهندسی، دانشگاه صنعتی شیراز، شیراز، ایران، (email: abiri@sutech.ac.ir).

امیرحسین رجائی، گروه برق، دانشکده مهندسی، دانشگاه صنعتی شیراز، شیراز، ایران، (email: a.rajaei@sutech.ac.ir).



شکل ۱: مدل Z-source



شکل ۲: مدل A-source سه‌فاز.

برای تولید مدت زمان اتصال کوتاه، به کارگیری منحنی پوش برای ثابت نگهداشتن مدت زمان اتصال کوتاه استفاده شده است اما از طرف دیگر استرس ولتاژ کلیدها افزایش می‌یابد.

برای غلبه بر نقاط ضعف روش‌های مدولاسیون مطرح شده، پیرامون واستگی بین مدت زمان اتصال کوتاه و ضریب مدولاسیون و حساسیت بهره و ولتاژ بالا به هر تغییر کوچکی در ضریب مدولاسیون، در این مقاله روش مدولاسیون جدیدی برای مدل منبع امپدانس A-source سه‌فاز پیشنهاد شده است. در روش پیشنهادی، واستگی بین مدت زمان اتصال کوتاه و ضریب مدولاسیون حذف شده است، ضریب مدولاسیون در مقدار ماکسیمم خود ثابت نگه داشته می‌شود و ضریب بوست به پارامترهای K و N که در ادامه بررسی می‌شود وابسته است. روش مدولاسیون پیشنهادی از روش کلیدزنی مدولاسیون پهنانی پالس گستته [۱۸] الهام گرفته شده و برای تعیین ولتاژهای مرجع از روش بیان شده در [۱۹] و [۲۰] استفاده گردیده است.

روش پیشنهادی قادر است با قابلیت اطمینان بالا و بدون اضافه کردن بخش‌های اضافی در محدوده وسیعی ولتاژ را افزایش دهد. برخلاف روش‌های مدولاسیون مرسوم که در آن مدت زمان اتصال کوتاه به ضریب مدولاسیون وابسته است، روش مدولاسیون پیشنهادی، واستگی بین مدت زمان اتصال کوتاه و ضریب مدولاسیون را از بین می‌برد. ضریب مدولاسیون را در مقدار ماکسیمم خود نگه می‌دارد و مدت زمان اتصال کوتاه و ضریب بوست به پارامتر جدیدی غیر از ضریب مدولاسیون وابسته می‌شود.

مهنمترین اهداف این مقاله به صورت زیر خلاصه می‌شود:

۱) از بین بردن وابستگی بین مدت زمان اتصال کوتاه و ضریب مدولاسیون در تمامی روش‌های مدولاسیون مرسوم برای مدل A-source با امکان نگهداشتن ضریب مدولاسیون در مقدار خداکتر خود.

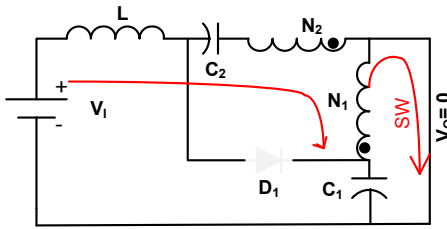
۲) دستیافتن به بهره ولتاژ بالا در محدوده وسیعی از پارامتر کنترلی مدت زمان اتصال کوتاه با بهبود قابلیت اطمینان و متعادل کردن استرس ولتاژ کلیدها در مقایسه با تکنیک‌های مدولاسیون مرسوم.

این طرح، شبکه Z-source با پایه ترانسفورمری است. در تمامی طرح‌های پیشنهادی برای trans-Z-source، شبکه امپدانسی، شامل یک ترانسفورمر و یک خازن است. اگر نسبت دور ترانس از یک بیشتر شود، مدل بهره ولتاژ بالایی تولید خواهد کرد. مدل‌های Z-source trans-Z-source و T-source، شبکه امپدانسی با ترانسفورمر دو سیم‌پیچی می‌باشند که با تعداد دور سیم‌پیچی کوچک، بهره ولتاژ بالایی دارند. مدل‌های دو سیم‌پیچی ذکرشده با جابه‌جاکردن مکان سیم‌پیچ در ترانسفورمر کوپل شده، ایجاد می‌شوند. برای رسیدن به شبکه‌ای که همه خواص و مزیت‌های شبکه‌های ذکر شده را داشته باشد، شبکه Y-source با سه سیم‌پیچ کوپل شده پیشنهاد شد. این شبکه نسبت به شبکه‌های ذکر شده درجه آزادی بیشتری بهره ولتاژ است و همچنین با نسبت دور کوچک، بهره ولتاژ بالایی دارد [۱۵] و [۱۶].

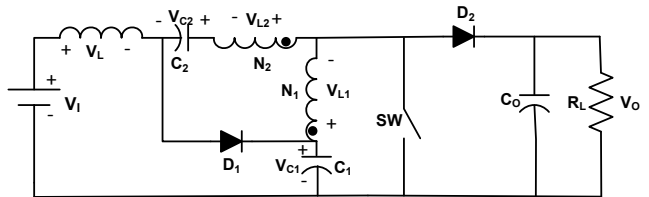
بعد از مدل Y-source، مدل جدیدی تحت عنوان A-source پیشنهاد شد. در مدل A-source از یک اتوترانسفورمر استفاده شده تا بتوان از این مدل به عنوان مدل با بهره ولتاژ DC بسیار بالا استفاده نمود [۱۷]. طرح کلی مدل A-source DC به شکل ۲ نشان داده شده است. جریان ورودی این مدل پیوسته است و بنابراین برای استفاده در بسیاری از منابع انرژی نو مناسب می‌باشد.

برخی از مشکلات روش‌های مدولاسیون مرسوم عبارتند از: در [۱] از روش مدولاسیون بوست ساده برای تولید مدت زمان اتصال کوتاه استفاده شده است. بر اساس اصول عملکرد این روش، ولتاژ خروجی متناسب با میزان کاهش ضریب مدولاسیون M افزایش می‌یابد و بنابراین برای رسیدن به بهره ولتاژ بالا باید ضریب مدولاسیون را کاهش داد، در نتیجه با کاهش ضریب مدولاسیون، استرس ولتاژ کلیدها افزایش می‌یابد.

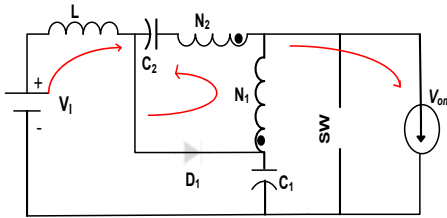
بعد از روش بوست ساده، روش مدولاسیون ماکسیمم بوست برای تولید مدت زمان اتصال کوتاه در [۵] مطرح شد. در این روش در مقایسه با روش بوست ساده برای رسیدن به بهره ولتاژ مساوی، به ضریب مدولاسیون بالاتری نیاز است و بنابراین در این روش، استرس ولتاژ کلیدها کاهش می‌یابد. در [۶] از روش مدولاسیون ماکسیمم بوست ثابت



شکل ۴: وضعیت اتصال کوتاه مبدل



شکل ۳: طرح کلی مبدل منبع امپدانس



شکل ۵: وضعیت غیر اتصال کوتاه مبدل

$$V_O = V_{C_1} - V_{L_1} \quad (8)$$

قانون توازن ولتاژ برای L_1 عبارت است از

$$V_{C_1} D_{st} - \frac{V_{C_1}}{N_1} (1 - D_{st}) = 0 \quad (9)$$

$$\Rightarrow \frac{V_{C_1}}{V_{C_1}} = \frac{1 - D_{st}}{D_{st} (1 + \frac{N_1}{N_2})} \quad (10)$$

در معادلات داده شده، D_{st} مدت زمان اتصال کوتاه کلید را نشان می‌دهد. قانون دوم توازن ولتاژ برای L_1 عبارت است از

$$V_I + [(\frac{N_1}{N_2} + 1) D_{st} - 1] V_{C_1} + D_{st} V_{C_2} = 0 \quad (11)$$

با استفاده از معادلات به دست آمده، ولتاژ خازن C_1 و C_2 از (۱۲) و (۱۳) به دست می‌آیند

$$V_{C_1} = \frac{1 - D_{st}}{1 - (1 + N) D_{st}} V_I \quad (12)$$

$$V_{C_2} = \frac{D_{st} N}{1 - (1 + N) D_{st}} V_I \quad (13)$$

در معادلات بیان شده، N نسبت دور سیم پیچی اتوترانسفورمر است و با رابطه $N = (N_1 + N_2)/N$ بیان می‌شود.

۳-۲ نسبت انتقال ولتاژ DC در مبدل A-source

ماکسیمم ولتاژ خروجی، طی فرایند غیر اتصال کوتاه با استفاده از (۱۴) و (۱۵) به دست می‌آید

$$V_{om} = V_{C_1} - V_{L_1} \quad (14)$$

$$V_{om} = \frac{V_I}{1 - (1 + N) D_{st}} \quad (15)$$

در شبکه داده شده، بهره ولتاژ به صورت $G = V_{om}/V_I$ و ضریب افزاینده ولتاژ به شکل ۵ تعریف می‌شود. با توجه به (۱۵)، محدوده تغییرات مدت زمان اتصال کوتاه به فرم (۱۶) مشخص می‌شود

$$0 \leq D_{st} \leq D_{st,max} = \frac{1}{1 + N} \quad (16)$$

۲- بررسی ساختار و عملکرد مبدل A-SOURCE

شکل ۳ طرح کلی مبدل DC-DC به DC با مقایسه با دیگر شبکه‌های امپدانسی از تعداد دور کمتری برای رسیدن به بهره برابر استفاده می‌کند. همچنین با توجه به جریان ورودی پیوسته، برای بسیاری از منابع انرژی نو مناسب است. عملکرد این شبکه به این صورت است که با وصل شدن کلید، دیودهای D_1 و D_2 بایاس معکوس می‌شوند. سلف مغناطیس کنندگی اتوترانسفورمر از طریق خازن‌های C_1 و C_2 شارژ می‌شود و خازن خروجی C_O به بار خروجی، توان می‌دهد. با خاموش شدن کلید، دیودهای D_1 و D_2 روشن می‌شود و منبع ولتاژ ورودی، خازن‌های C_1 و C_2 را دوباره شارژ می‌کند. منبع ولتاژ ورودی و اتوترانسفورمر، انرژی را به خازن خروجی منتقل می‌کنند تا بار تغذیه شود. زمانی که کلید دوباره روشن شود، فرایند تکرار می‌شود. با روشن و خاموش شدن کلید به صورت متناوب، ولتاژ خازن خروجی تا بیشترین مقدار خود یعنی V_{om} افزایش می‌باید.

این مبدل دارای دو وضعیت کاری، حالت اتصال کوتاه و حالت غیر اتصال کوتاه می‌باشد [۱۷].

۱- حالت اتصال کوتاه

در این حالت با روشن شدن کلید، دیود D_1 بایاس معکوس می‌شود. شکل ۴ وضعیت اتصال کوتاه مبدل را نشان می‌دهد. با نوشتن KVL در این حالت، معادلات زیر به دست می‌آیند

$$V_I - V_L + V_{C_1} + \frac{N_1}{N_2} V_{L_1} + V_{L_1} - V_{C_1} = 0 \quad (1)$$

$$V_{L_1} = V_{C_1} \quad (2)$$

با مرتب کردن (۱)، (۲) به دست می‌آید

$$V_L = V_I + V_{C_1} + (\frac{N_1}{N_2}) V_{L_1} - V_{C_1} \quad (3)$$

با استفاده از (۲) و (۳)، ولتاژ سلف ورودی به صورت (۴) به دست می‌آید

$$V_L = V_I + V_{C_1} + \frac{N_1}{N_2} V_{C_1} \quad (4)$$

$$V_O = 0 \quad (5)$$

۲- حالت غیر اتصال کوتاه

در این حالت، مانند شکل ۵ کلید خاموش و دیود D_1 بایاس مستقیم می‌شود. معادلات در این حالت به صورت زیر است

$$V_{L_1} + \frac{N_1}{N_2} V_{L_1} + V_{C_1} = 0 \quad (6)$$

$$V_L = V_I - V_{C_1} \quad (7)$$

بوست، ماکسیمم بوست ثابت و روش مدولاسیون بردار فضایی می‌باشد.
برای تمامی این روش‌ها بهره ولتاژ از (۲۳) به دست می‌آید

$$G = \frac{2V_{oac}}{V_I} = MB \quad (23)$$

در (۲۳)، V_{oac} مقدار پیک ولتاژ فاز خروجی، V_I ولتاژ DC ورودی، M ضریب مدولاسیون و B ضریب بوست است که برای مبدل A-source از (۲۴) به دست می‌آید

$$B = \frac{1}{1 - (1 + N)D_{st}} \quad (24)$$

در (۲۴)، D_{st} مدت زمان اتصال کوتاه کلیدها، N ضریب سیم‌پیچی ترانس، N تعداد دور سیم‌پیچی اولیه ترانس و N تعداد دور سیم‌پیچی ثانویه ترانس می‌باشد.

۴-۱ تزریق هارمونیک سوم و تعیین ولتاژهای مرجع سه‌فاز جدید

در این روش به منظور افزایش ضریب مدولاسیون، تزریق هارمونیک سوم به شکل موج سینوسی سه‌فاز صورت می‌گیرد. شکل ۶ ولتاژهای سه‌فاز ایجاد شده با تزریق هارمونیک سوم را نشان می‌دهد. ولتاژهای سه‌فاز مرجع و V_{zs} به ترتیب به صورت (۲۵) و (۲۶) تعریف می‌شوند

$$V_{ao}^* = M \sin(\omega t) + \frac{1}{\epsilon} M \sin(3\omega t) \quad (25)$$

$$V_{bo}^* = M \sin(\omega t - \frac{2\pi}{3}) + \frac{1}{\epsilon} M \sin(3\omega t) \quad (25)$$

$$V_{co}^* = M \sin(\omega t + \frac{2\pi}{3}) + \frac{1}{\epsilon} M \sin(3\omega t) \quad (26)$$

$$V_{zs} = \frac{1}{\epsilon} (1 - \text{sgn}(\frac{d}{dt} \max(V_{ao}^*, V_{bo}^*, V_{co}^*))). \max(V_{ao}^*, V_{bo}^*, V_{co}^*) + \frac{1}{\epsilon} (1 - \text{sgn}(\frac{d}{dt} \min(V_{ao}^*, V_{bo}^*, V_{co}^*))). \min(V_{ao}^*, V_{bo}^*, V_{co}^*) \quad (26)$$

که در آن V_{zs} ولتاژ توالی صفر نامیده می‌شود [۱۹]. در روش پیشنهادی بر اساس مطالب بیان شده در [۱۹] و همچینی بر اساس ولتاژهای سه‌فاز مرجع تعریف شده در [۲۰]، ولتاژ V_{zs} برای رسیدن به سیگنال‌های مدولاسیون مورد نیاز و در نتیجه به دست آوردن منحنی‌های پوش مطلوب تعریف می‌شود.

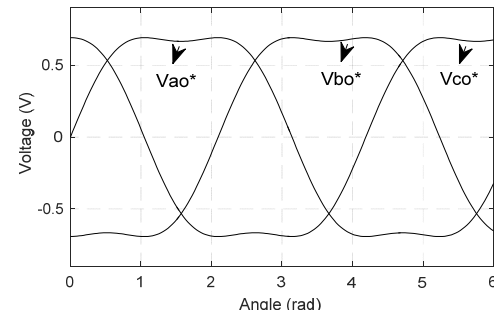
در (۲۶)، sgn تابع علامت است که برای مقادیر مثبت، مقدار آن ۱ و برای مقادیر منفی، مقدار آن -۱ می‌باشد. مجموعه جدیدی از ولتاژهای مرجع، تحت عنوان سیگنال‌های مدولاسیون از (۲۷) به دست می‌آیند

$$V_a^* = \frac{V_{ao}^* - V_{zs}}{\epsilon} \quad (27)$$

$$V_b^* = \frac{V_{bo}^* - V_{zs}}{\epsilon} \quad (27)$$

$$V_c^* = \frac{V_{co}^* - V_{zs}}{\epsilon} \quad (27)$$

شکل ۷ تولید سیگنال‌های مدولاسیون را در روش مدولاسیون پیشنهادی بر اساس (۲۵) و (۲۷) نشان می‌دهد. بخش‌های مختلف سیگنال‌های مدولاسیون مطابق با جدول ۱ هر ۳۰ درجه تغییر می‌کند. مقدار ماکسیمم سیگنال‌های مدولاسیون جدید (V_a^*, V_b^*, V_c^*) برابر با



شکل ۶- تزریق هارمونیک سوم به ولتاژهای مرجع سه‌فاز.

۳- بررسی ریپل جریان سلف و ولتاژ خازن در مبدل A-SOURCE سه‌فاز

در مبدل A-source، ریپل جریان سلف به صورت (۱۷) محاسبه می‌شود

$$\Delta I_L = \int_{D_{st}T_s}^{T_s} \frac{di_L}{dt} dt = \int_{D_{st}T_s}^{T_s} \frac{V_L}{L} dt = \frac{V_L}{L} T_s (1 - D_{st}) \quad (17)$$

ولتاژ سلف ورودی طی فرایند غیر اتصال کوتاه طبق (۱۸) محاسبه می‌شود

$$V_L = V_I - V_{C_1} \quad (18)$$

معادله (۱۸) را در (۱۷) قرار می‌دهیم، ریپل جریان سلف به صورت (۱۹) به دست می‌آید

$$\Delta I_L = \frac{(1 - D_{st})T_s(V_I - V_{C_1})}{L} \quad (19)$$

ولتاژ خازن C_1 را در (۱۹) قرار می‌دهیم، بنابراین میزان ریپل جریان سلف از (۲۰) به دست می‌آید

$$\Delta I_L = \frac{-ND_{st}(1 - D_{st})T_s}{L[1 - (1 + N)D_{st}]} \quad (20)$$

برای محاسبه ریپل ولتاژ خازن در مبدل A-source، با فرض وصل بودن کلید، دیود خاموش می‌شود و بنا بر این جریان خازن C_1 عبارت است از

$$i_{C_1} = -I_L \quad (21)$$

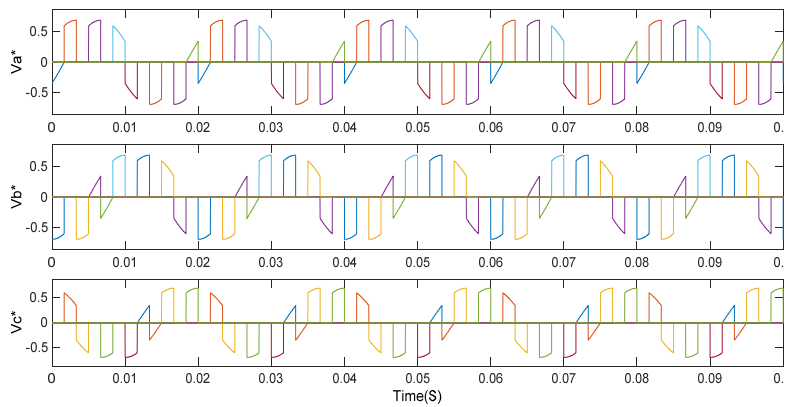
با استفاده از رابطه بین جریان و ریپل ولتاژ خازن و همچنین با صرف نظر کردن از تلفات، یعنی مساوی بودن توان خروجی با توان ورودی، ریپل ولتاژ خازن C_1 به صورت (۲۲) به دست می‌آید

$$\Delta V_{C_1} = -\frac{I_L D_{st} T_s}{C_1} = -\frac{P_o}{V_I} \cdot \frac{D_{st} T_s}{C_1} \quad (22)$$

در (۲۲)، I_L جریان سلف ورودی و P_o توان خروجی مبدل است.

۴- روش مدولاسیون پیشنهادی برای مبدل A-SOURCE سه‌فاز

برتری روش کنترلی مدولاسیون پهنای پالس برای مبدل منبع امپدانس، توانایی ایجاد حالت اتصال کوتاه به منظور افزایش ولتاژ بالاتر از مقدار ولتاژ DC در فرایند تک مرحله‌ای است. عمل اتصال کوتاه با وصل کردن کلیدهای بالا و پایین در یک فاز صورت می‌گیرد. روش‌های مدولاسیون پهنای پالس مختلفی برای کنترل تولید مدت زمان اتصال کوتاه استفاده می‌شود. متداول ترین روش‌ها، روش بوست ساده، ماکسیمم



شکل ۷: سیگنال‌های مدولاسیون تولیدشده در روش پیشنهادی.

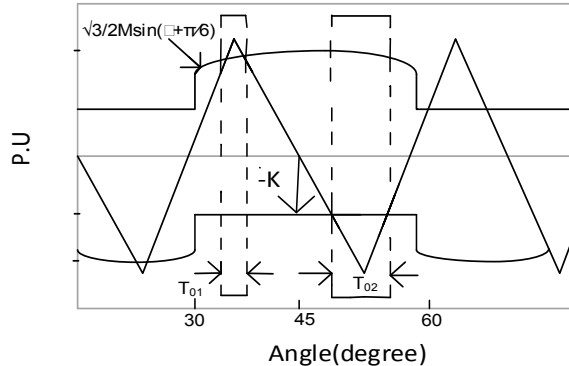
جدول ۱: ترتیب هارمونیک سوم و تعیین V_{zs} و منحنی‌های مرجع جدید.

یکدوازدهم یک دوره	V_{zs}	سیگنال‌های مدولاسیون
$\cdot \leq wt \leq \frac{\pi}{6}$	V_{co}^*	$V_a^* = \frac{V_{ao}^* - V_{co}^*}{\sqrt{3}}, V_b^* = \frac{V_{bo}^* - V_{co}^*}{\sqrt{3}}, V_c^* = \cdot$
$\frac{\pi}{6} \leq wt \leq \frac{\pi}{3}$	V_{bo}^*	$V_a^* = \frac{V_{ao}^* - V_{bo}^*}{\sqrt{3}}, V_b^* = \cdot, V_c^* = \frac{V_{co}^* - V_{bo}^*}{\sqrt{3}}$
$\frac{\pi}{3} \leq wt \leq \frac{\pi}{2}$	V_{ao}^*	$V_a^* = \cdot, V_b^* = \frac{V_{bo}^* - V_{ao}^*}{\sqrt{3}}, V_c^* = \frac{V_{co}^* - V_{ao}^*}{\sqrt{3}}$
$\frac{\pi}{2} \leq wt \leq \frac{2\pi}{3}$	V_{co}^*	$V_a^* = \frac{V_{ao}^* - V_{co}^*}{\sqrt{3}}, V_b^* = \frac{V_{bo}^* - V_{co}^*}{\sqrt{3}}, V_c^* = \cdot$
$\frac{2\pi}{3} \leq wt \leq \frac{5\pi}{6}$	V_{ao}^*	$V_a^* = \cdot, V_b^* = \frac{V_{bo}^* - V_{ao}^*}{\sqrt{3}}, V_c^* = \frac{V_{co}^* - V_{ao}^*}{\sqrt{3}}$
$\frac{5\pi}{6} \leq wt \leq \pi$	V_{co}^*	$V_a^* = \frac{V_{ao}^* - V_{co}^*}{\sqrt{3}}, V_b^* = \frac{V_{bo}^* - V_{co}^*}{\sqrt{3}}, V_c^* = \cdot$
$\pi \leq wt \leq \frac{4\pi}{6}$	V_{bo}^*	$V_a^* = \frac{V_{ao}^* - V_{bo}^*}{\sqrt{3}}, V_b^* = \cdot, V_c^* = \frac{V_{co}^* - V_{bo}^*}{\sqrt{3}}$
$\frac{4\pi}{6} \leq wt \leq \frac{7\pi}{6}$	V_{ao}^*	$V_a^* = \cdot, V_b^* = \frac{V_{bo}^* - V_{ao}^*}{\sqrt{3}}, V_c^* = \frac{V_{co}^* - V_{ao}^*}{\sqrt{3}}$
$\frac{7\pi}{6} \leq wt \leq \frac{10\pi}{6}$	V_{bo}^*	$V_a^* = \frac{V_{ao}^* - V_{bo}^*}{\sqrt{3}}, V_b^* = \cdot, V_c^* = \frac{V_{co}^* - V_{bo}^*}{\sqrt{3}}$
$\frac{10\pi}{6} \leq wt \leq \frac{13\pi}{6}$	V_{ao}^*	$V_a^* = \cdot, V_b^* = \frac{V_{bo}^* - V_{ao}^*}{\sqrt{3}}, V_c^* = \frac{V_{co}^* - V_{ao}^*}{\sqrt{3}}$
$\frac{13\pi}{6} \leq wt \leq 2\pi$	V_{bo}^*	$V_a^* = \frac{V_{ao}^* - V_{bo}^*}{\sqrt{3}}, V_b^* = \cdot, V_c^* = \frac{V_{co}^* - V_{bo}^*}{\sqrt{3}}$

۴ محاسبه مدت زمان اتصال کوتاه در روش مدولاسیون پیشنهادی

برای به دست آوردن معادله مدت زمان اتصال کوتاه، مقدار متوسط مدت زمان اتصال کوتاه با توجه به شکل ۸ محاسبه می‌شود. از آنجایی که مدت زمان اتصال کوتاه به صورت پریودیک در فاصله ۳۰ درجه تکرار می‌شود، مدت زمان اتصال کوتاه در طی فرایند کلیدزنی در فاصله ۰ تا ۳۰ درجه از (۳۹) به دست می‌آید

$$\begin{aligned} T_{\text{v}}(\theta) &= \frac{1 + \frac{\sqrt{3}}{2} M \cos \theta}{2} \\ \frac{T_{\text{v}}(\theta)}{T} &= \frac{1 - K}{2} \\ \frac{T_{\text{v}}(\theta)}{T} &= \frac{1 - [K - (\sqrt{3}/2)M \cos \theta]}{2} \end{aligned} \quad (39)$$



شکل ۸: محاسبه متوسط مدت زمان اتصال کوتاه با استفاده از روش مدولاسیون پیشنهادی.

$(\sqrt{3}/2)M$ می‌باشد. برای داشتن مدولاسیون مناسب باید شرط $\sqrt{3}/2 \leq M \leq 1$ برآورده شود، بنابراین مقدار ماکسیمم ضریب مدولاسیون به $2/\sqrt{3}$ افزایش می‌یابد که این ضریب نسبت به روش مدولاسیون مرسوم به اندازه ۱۵٪ افزایش یافته است.

۴-۲ تعیین منحنی پوش برای محاسبه مدت زمان اتصال کوتاه

دو منحنی پوش بالا و پایین، V_p و V_n ، با استفاده از بیشترین و کمترین مقدار لحظه‌ای سیگنال‌های مدولاسیون جدید (V_a^*, V_b^*, V_c^*) برای تولید مدت زمان اتصال کوتاه تولید می‌شوند

$$\begin{aligned} V_p &= \max(V_a^*, V_b^*, V_c^*) + \\ &\quad K(1 - \text{ceil}(\max(V_a^*, V_b^*, V_c^*))) \\ V_n &= \min(V_a^*, V_b^*, V_c^*) + \\ &\quad K(1 + \text{floor}(\min(V_a^*, V_b^*, V_c^*))) \end{aligned} \quad (28)$$

در (۲۸) تابع ceil و floor به ترتیب نزدیک‌ترین عدد صحیح بزرگ‌تر و نزدیک‌ترین عدد صحیح کوچک‌تر به عددی حقیقی را نشان می‌دهند. برای تولید منحنی پوش در بازه‌های زمانی که بیشترین مقدار سیگنال‌های مرتع جدید تولیدشده برابر با صفر است، مقدار منحنی پوش بالا برابر با K و در بازه‌های زمانی که کمترین مقدار سیگنال‌های مرتع تولیدشده برابر با صفر است، مقدار منحنی پوش پایین برابر با $-K$ می‌باشد. در بازه‌های زمانی که کمترین مقدار سیگنال‌های مرتع تولیدشده جدید تولیدشده، صفر نباشد منحنی پوش بالا برابر با $\max(V_a^*, V_b^*, V_c^*)$ و منحنی پوش پایین برابر با $\min(V_a^*, V_b^*, V_c^*)$ می‌باشد. جدول ۲ منحنی‌های پوش را برای بازه‌های زمانی مختلف نشان می‌دهد.

جدول ۳: مقایسه نسبت استرس ولتاژ کلیدها به ولتاژ DC در روش‌های مختلف.

روش مدولاسیون	نسبت استرس ولتاژ کلیدها به ولتاژ DC
روش بوسټ ساده	$\frac{1+N}{N} - \frac{1}{NG}$
روش ماکسیمم بوسټ	$\frac{3\sqrt{3}(1+N)}{2\pi N} - \frac{1}{NG}$
روش ماکسیمم بوسټ ثابت	$\frac{\sqrt{3}}{2} \frac{1+N}{N} - \frac{1}{NG}$
روش پیشنهادی	$\frac{\frac{3\sqrt{3}}{4\pi}(1+N)}{(2-K) \frac{1+N}{N} - 1} - \frac{1}{G((2-K) \frac{1+N}{N} - 1)}$

جدول ۴: مقایسه بهره ولتاژ در روش‌های مدولاسیون مختلف.

بهره ولتاژ	روش مدولاسیون
$G = \frac{M}{1-(1+N)(1-M)}$	روش بوسټ ساده
$G = \frac{\gamma\pi M}{3\sqrt{3}(1+N)-2\pi N}$	روش ماکسیمم بوسټ
$G = \frac{M}{1-(1+N)(1-\frac{\sqrt{3}}{2}M)}$	روش ماکسیمم بوسټ ثابت
$G = \frac{M}{\pi(2-K)-\frac{3\sqrt{3}}{2}M}$	روش پیشنهادی

با تنظیم ضرایب K ، M و N می‌توان به بهره ولتاژ بالا دست یافت.
استرس ولتاژ کلیدها از (۳۳) به دست می‌آید

$$V_s = BV_I = \frac{G}{M} V_I = \frac{V_I}{\pi(2-K) - \frac{3\sqrt{3}}{2}M} \quad (33)$$

$$1 - (1+N) \left[\frac{V_{DC}}{2\pi} \right]$$

معادلات (۳۴) و (۳۵) به ترتیب دامنه ولتاژ AC فاز و خط خروجی مبدل سه‌فاز را نشان می‌دهند A-source

$$V_{AC-line} = \frac{1}{1-(1+N)D_{st}} M \times \frac{V_{DC}}{2} \times \sqrt{3} \quad (34)$$

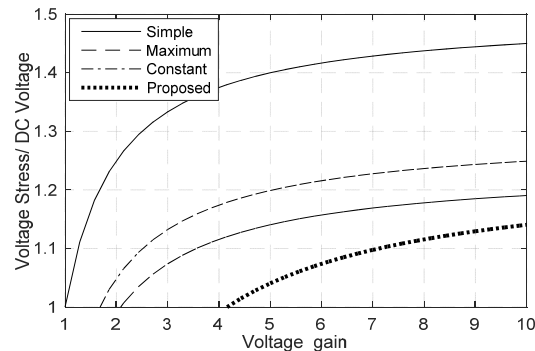
$$V_{AC-phase} = \frac{1}{1-(1+N)D_{st}} M \times \frac{V_{DC}}{2} \quad (35)$$

۶- مقایسه استرس ولتاژ کلیدها در A-SOURCE با روش پیشنهادی و سایر روش‌ها

معادلات نوشتۀ شده در جدول ۳، نسبت استرس ولتاژ کلیدها به ولتاژ DC معادل در روش پیشنهادی، روش‌های بوسټ ساده، ماکسیمم بوسټ و ماکسیمم بوسټ ثابت را با هم مقایسه می‌کند. شکل ۹ نیز استرس ولتاژ کلیدها با تغییر بهره ولتاژ در روش‌های مرسوم و روش پیشنهادی را با هم مقایسه می‌کند. مقایسه نشان می‌دهد که نسبت استرس ولتاژ کلیدها به ولتاژ DC در روش پیشنهادی نسبت به روش‌های مرسوم، کمتر است.

۷- بهره ولتاژ در روش مدولاسیون پیشنهادی و سایر روش‌ها

جدول ۴ رابطه بهره ولتاژ برای مبدل A-source در روش‌های مرسوم



شکل ۹: مقایسه استرس ولتاژ کلیدها در روش‌های مدولاسیون متفاوت برای A-source مبدل

جدول ۲: منحنی‌های پوش برای بازه‌های زمانی مختلف.

منحنی پوش پایین دوره تناوب	منحنی پوش بالا دوره تناوب	یکدمازدهم
$0 \leq wt \leq \frac{\pi}{6}$	K	$-\frac{\sqrt{3}}{2} M \cos \theta$
$\frac{\pi}{6} \leq wt \leq \frac{\pi}{3}$	$\frac{\sqrt{3}}{2} M \cos(\theta + \frac{\pi}{6})$	K
$\frac{\pi}{3} \leq wt \leq \frac{\pi}{2}$	K	$-\frac{\sqrt{3}}{2} M \sin(\theta + \frac{\pi}{6})$
$\frac{\pi}{2} \leq wt \leq \frac{2\pi}{3}$	$-\frac{\sqrt{3}}{2} M \cos(\theta + \frac{\pi}{3})$	$-K$
$\frac{2\pi}{3} \leq wt \leq \frac{5\pi}{6}$	K	$\frac{\sqrt{3}}{2} M \cos(\theta + \frac{\pi}{3})$
$\frac{5\pi}{6} \leq wt \leq \pi$	$-\frac{\sqrt{3}}{2} M \cos \theta$	$-K$
$\pi \leq wt \leq \frac{7\pi}{6}$	K	$\frac{\sqrt{3}}{2} M \cos \theta$
$\frac{7\pi}{6} \leq wt \leq \frac{4\pi}{3}$	$-\frac{\sqrt{3}}{2} M \sin(\theta + \frac{\pi}{6})$	$-K$

مقدار متوسط مدت زمان اتصال کوتاه از (۳۰) به دست می‌آید

$$D_{st} = \frac{1}{\frac{\pi}{6}} \int_{\frac{\pi}{6}}^{\frac{\pi}{2}} \frac{T(\theta)}{T} d\theta = \frac{\pi(2-K) - \frac{3\sqrt{3}}{2}M}{2\pi} \quad (30)$$

۵- ضریب بوسټ و استرس ولتاژ کلیدها در روش A-SOURCE مدولاسیون پیشنهادی برای مبدل

بعد از شبکه quasi-Y-source، شبکه امپدانسی با بهره ولتاژ بالا تحت عنوان مبدل A-source مطرح شد [۱۷]. این شبکه امپدانسی به طور کامل در بخش ۲ بررسی شد. ضریب بوسټ برای شبکه A-source با روش مدولاسیون پیشنهادی از (۳۱) به دست می‌آید

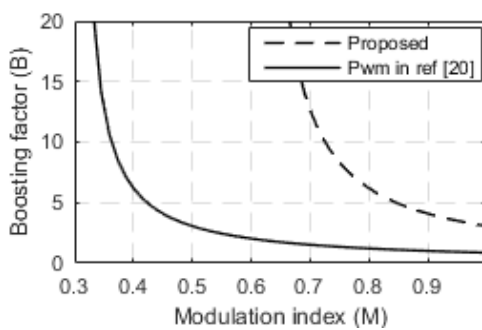
$$B = \frac{1}{\pi(2-K) - \frac{3\sqrt{3}}{2}M} \quad (31)$$

$$1 - (1+N) \left[\frac{V_{DC}}{2\pi} \right]$$

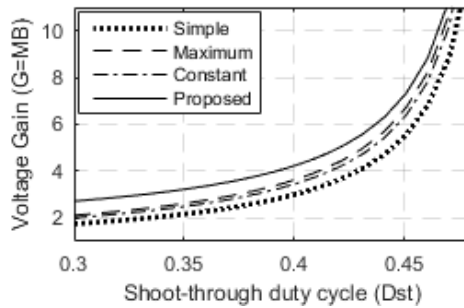
همچنین بهره ولتاژ برای مبدل A-source از (۳۲) به دست می‌آید

$$G = \frac{M}{\pi(2-K) - \frac{3\sqrt{3}}{2}M} \quad (32)$$

$$1 - (1+N) \left[\frac{V_{DC}}{2\pi} \right]$$



شکل ۱۲: ضریب بوست در روش مدولاسیون پیشنهادی و روش بیان شده در [۲۰] در ضریب مدولاسیون متفاوت ($K = 0.5, N = 1$).



شکل ۱۳: مقایسه بهره ولتاژ برای روش‌های مدولاسیون مختلف بر حسب مدت زمان اتصال کوتاه ($K = 0.5$).

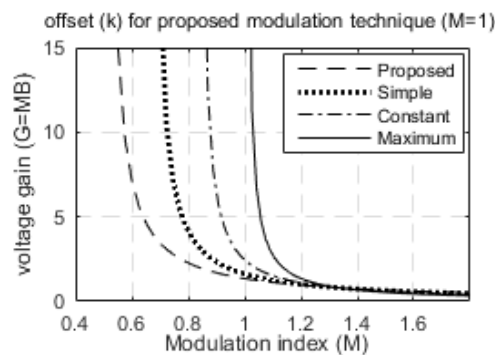
از این ضریب برای تولید منحنی‌های پوش بالا و پایین در روش مدولاسیون استفاده می‌شود و بنابراین کنترل کننده، پالس‌های مناسبی برای تولید ولتاژ مطلوب تولید می‌کند و به اینورتر منبع ولتاژ اعمال می‌نماید. شکل ۱۵ تغییرات بهره ولتاژ با تغییر ضریب مدولاسیون برای روش‌های مدولاسیون مرسم و همچنین تغییر بهره ولتاژ با تغییر ضریب K را برای روش مدولاسیون پیشنهادی را نشان می‌دهد. با توجه به شکل ۱۵، حساسیت بهره ولتاژ بالا نسبت به تغییرات ضریب K در روش مدولاسیون پیشنهادی از حساسیت بهره ولتاژ در روش‌های مدولاسیون مرسم، نسبت به تغییرات ضریب مدولاسیون K کمتر است.

۹- محاسبه تلفات کلیدزنی

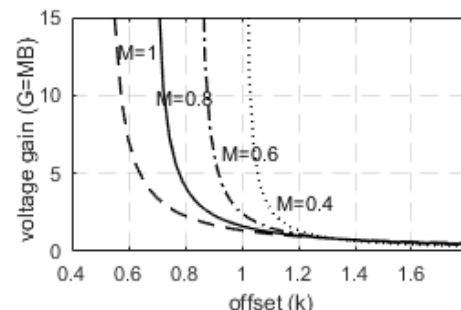
برای محاسبه تلفات کلیدزنی در زمان روشن شدن کلید باید مدت زمانی که طول می‌کشد تا کلید وصل شود (t_{on}) و همچنین جریان گذرنده از کلید در زمان روشن شدن کلید (I_{on}) محاسبه شوند. همچنین برای محاسبه تلفات کلیدزنی در زمان خاموش شدن کلید، باید مدت زمان خاموش شدن کلید (t_{off}) و همچنین ولتاژ دو سر کلید در زمان خاموش بودن کلید (V_s) محاسبه شوند. شکل ۱۶ وضعیت کلید در زمان روشن و خاموش شدن را نشان می‌دهد. تلفات کلیدزنی در یک دوره برابر است با مجموع انرژی تلفشده در زمان خاموش شدن کلید و انرژی تلفشده در زمان روشن شدن کلید در یک دوره کاری و بنابراین تلفات کلیدزنی از (۳۶) به دست می‌آید

$$P_{sw} = \frac{1}{T_s} \left(\frac{V_s I_{on}}{\epsilon} t_{on} + \frac{V_s I_{on}}{\epsilon} t_{off} \right) = \left(\frac{t_{on} + t_{off}}{\epsilon} \right) f_s V_s I_{on} \quad (36)$$

تلفات کلیدزنی به فرکانس کلیدزنی وابسته است و با افزایش فرکانس کلیدزنی، این تلفات افزایش می‌یابند. شکل ۱۷ تغییرات تلفات کلیدزنی را با تغییر ولتاژ خروجی در مدل A-source با روش پیشنهادی نشان می‌دهد.



شکل ۱۰: بهره ولتاژ بر حسب ضریب مدولاسیون در روش بوست ساده، ماکسیمم بوست، ماکسیمم بوست ثابت و روش پیشنهادی.

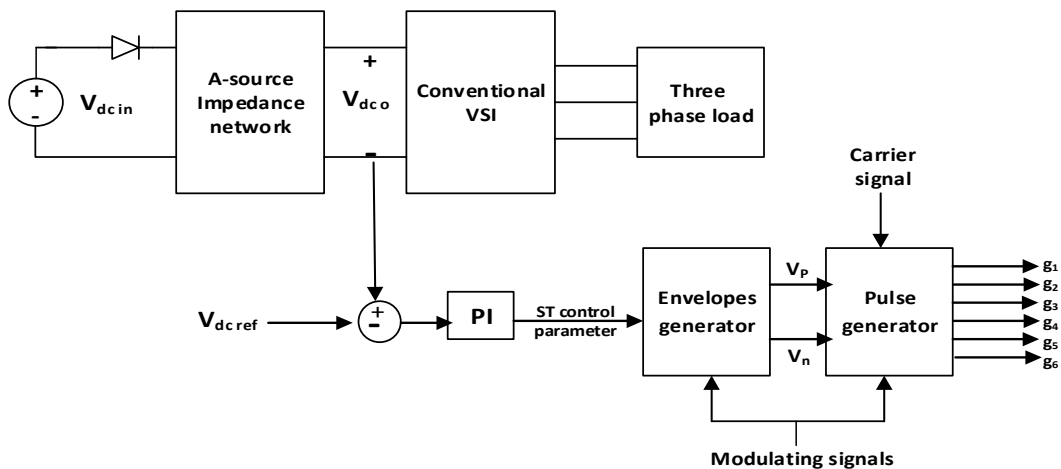


شکل ۱۱: بهره ولتاژ مدل A-source در روش مدولاسیون پیشنهادی با پارامتر کنترلی K در ضریب مدولاسیون متفاوت.

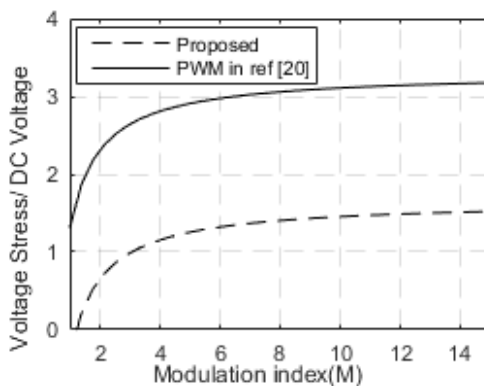
و روش پیشنهادی را نشان می‌دهد. شکل ۱۰ بهره ولتاژ بر حسب ضریب مدولاسیون برای مدل A-source در روش بوست ساده، ماکسیمم بوست، ماکسیمم بوست ثابت و روش پیشنهادی را نشان می‌دهد. شکل ۱۱ بهره ولتاژ در روش مدولاسیون پیشنهادی با پارامتر کنترلی K در ضریب مدولاسیون متفاوت را نشان می‌دهد. با توجه به شکل، شبیه منحنی با افزایش ضریب مدولاسیون، کاهش می‌یابد. همچنین با توجه به (۳۳)، استرس ولتاژ در روش پیشنهادی در بهره ثابت با افزایش ضریب مدولاسیون کاهش می‌یابد. در روش پیشنهادی با تزریق هارمونیک سوم، ضریب مدولاسیون نسبت به روش پیشنهادی در [۲۰] افزایش یافته و در نتیجه استرس ولتاژ کلیدها نیز کاهش می‌یابد. با توجه به شکل ۱۲ ضریب بوست برای مدل Z-source در روش مدولاسیون پیشنهادی نسبت به روش بیان شده در [۲۰] با فرض $K = 0.5$ بیشتر است. شکل ۱۳ بهره ولتاژ برای روش‌های مدولاسیون مختلف در روش مدولاسیون پیشنهادی نسبت مدت زمان اتصال کوتاه مساوی در روش مدولاسیون پیشنهادی نسبت به روش‌های بوست ساده، ماکسیمم بوست و ماکسیمم بوست ثابت، بیشتر است.

۸- کنترل ولتاژ DC خروجی مدل منبع امپدانس

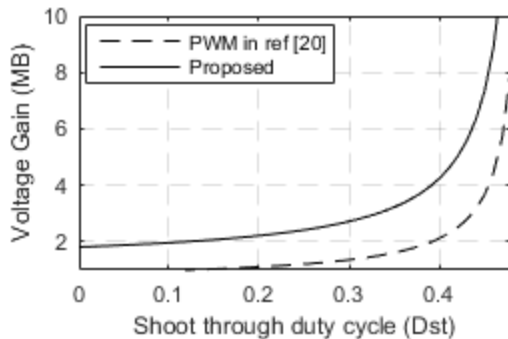
در روش مدولاسیون پیشنهادی برای مدل A-source، یک کنترل کننده برای کنترل ولتاژ DC خروجی مدل منبع امپدانس طراحی شده است. در این روش کنترلی از کنترل کننده تابعی-انتگرالی (PI) استفاده شده است. شکل ۱۴ طرح کلی این کنترل کننده را نشان می‌دهد. در این روش کنترلی، ولتاژ افزایش یافته خروجی مدل منبع امپدانس با ولتاژ مرجع مقایسه می‌شود. برای رسیدن به ولتاژ مطلوب، کنترل کننده PI مدت زمان اتصال کوتاه را محاسبه می‌کند و سپس با توجه به رابطه بین مدت زمان اتصال کوتاه و ضریب K ، ضریب K مناسب تولید می‌شود.



شکل ۱۴: طرح کلی کنترل کننده تناسبی-انتگرالی.



شکل ۱۵: مقایسه استرس ولتاز کلیدها در مبدل Z-source با روش پیشنهادی و روش معرفی شده در [۲۰].

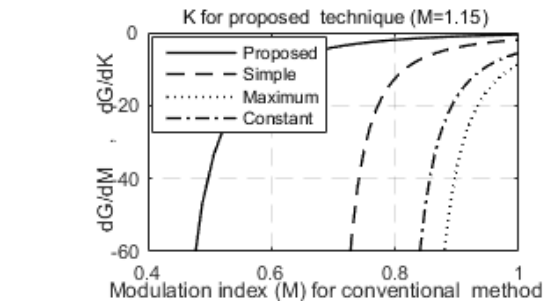


شکل ۱۷: مقایسه بهره ولتاز در روش مدولاسیون پیشنهادی و بهره ولتاز در روش معرفی شده در [۲۰].

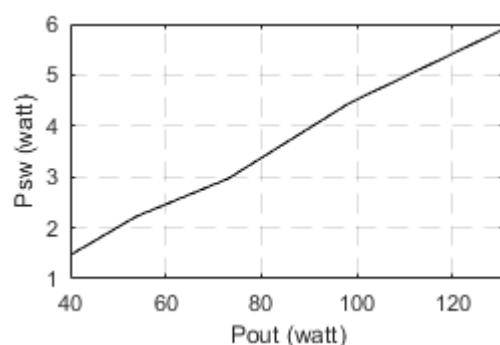
همچنین استرس ولتاز کلید در مبدل Z-source در روش معرفی شده در [۲۰] از (۳۸)، به صورت زیر به دست می‌آید

$$\frac{V_s}{GV_{dc}} = \frac{\sqrt[3]{3}}{\pi(1-K)} - \frac{1}{(1-K)G} \quad (38)$$

مقایسه (۳۷) و (۳۸) نشان می‌دهد که استرس ولتاز کلیدها در روش پیشنهادی از روش معرفی شده در [۲۰] کمتر است. شکل ۱۸ استرس ولتاز کلیدها در مبدل Z-source با روش پیشنهادی و روش معرفی شده در [۲۰] را مقایسه می‌کند. استرس ولتاز کلیدها با تغییر ضریب مدولاسیون در روش پیشنهادی کمتر است. شکل ۱۹ بهره ولتاز در روش مدولاسیون پیشنهادی و روش معرفی شده در [۲۰] را نشان می‌دهد. افزایش بهره با پیشنهادی مدت زمان اتصال کوتاه در روش پیشنهادی از روش معرفی شده در [۲۰] بیشتر است.



شکل ۱۸: وضعیت کلید در زمان روشن و خاموش شدن.

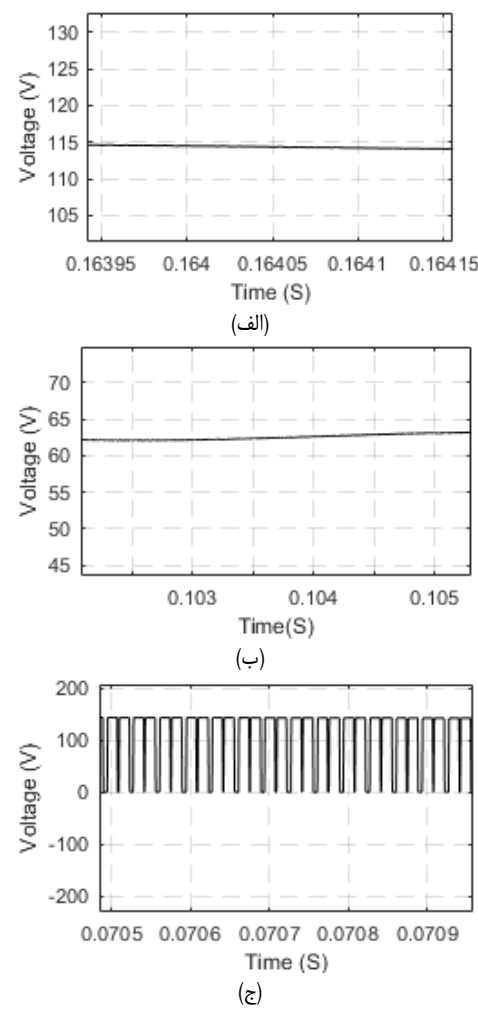
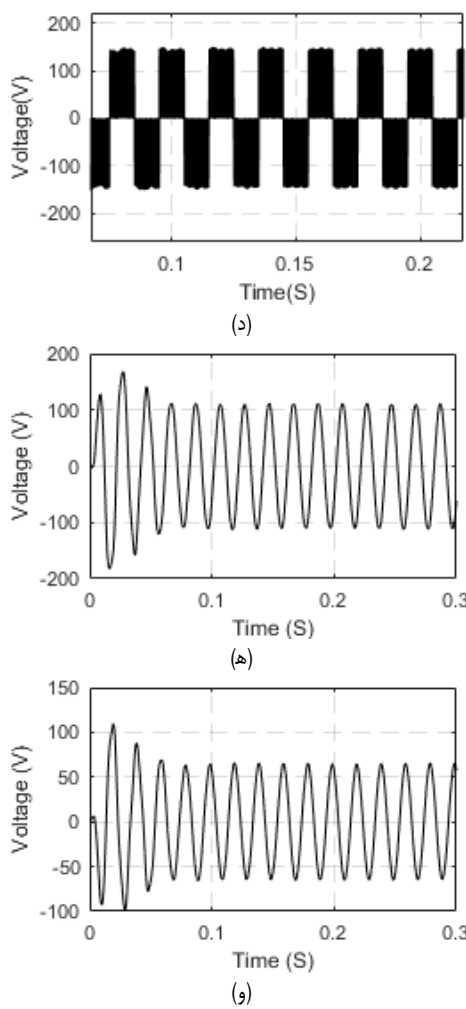


شکل ۱۹: تغییرات تلفات کلیدزنی با تغییر توان خروجی.

۱۰- مقایسه استرس کلیدها و بهره ولتاز در روش مدولاسیون جدید و روش معرفی شده در [۲۰]

با فرض $N = 1$ ، رابطه استرس ولتاز کلید در مبدل Z-source در روش پیشنهادی به صورت (۳۷) خواهد بود

$$\frac{V_s}{GV_{dc}} = \frac{\sqrt[3]{3}}{2\pi(1-K)} - \frac{1}{(1-K)G} \quad (37)$$



شکل ۱۹-۱ ب برابر است. شکل ۲۰-ج ولتاژ ورودی دو سر پل مبدل را نشان می‌دهد.
با جایگذاری مقادیر داده شده در (۳۳)، استرس ولتاژ کلیدها برابر با ۱۴۵ ولت خواهد بود که با مقدار نشان داده شده در شکل ۲۰-ج برابر است.
شکل ۲۰-ه ولتاژ خط AC خروجی مبدل سه‌فاز را نشان می‌دهد. با جایگذاری مقادیر داده شده در (۳۴)، اندازه ماکسیمم ولتاژ AC برابر با ۱۰۰ ولت به دست می‌آید که با مقدار ماکسیمم ولتاژ در شکل ۲۰-ه برابر است. همچنین مقادیر داده شده را در (۳۵) جایگذاری می‌کنیم و اندازه ولتاژ فاز AC برابر با ۵۸ ولت به دست می‌آید که این اندازه با مقدار ماکسیمم ولتاژ در شکل ۲۰-ج برابر است.

۱۲- نتیجه‌گیری

در این مقاله روش مدولاسیون پهنه‌ای پالس برای مبدل منبع امپدانس A-source ارائه شده که با تغییر ضرایب M ، K و N می‌توان ضریب بوست، بهره ولتاژ و تلفات کلیدزنی را کنترل کرد اما در [۲۰] تنها با تغییر ضرایب M و K می‌توان مقادیر بیان شده را کنترل نمود. در روش پیشنهادی، استرس ولتاژ کلیدها در مقایسه با دیگر روش‌های مدولاسیون، کاهش یافته است. با تزریق هارمونیک سوم، مقدار ماکسیمم ضریب مدولاسیون به $M = \frac{2}{\sqrt{3}}$ افزایش یافته و بنابراین محدوده تغییرات بهره ولتاژ افزایش می‌یابد. استفاده از مبدل جدید A-source در مقایسه با مبدل Z-source دارای این مزیت است که در مبدل

جدول ۵: پارامترهای مبدل منبع امپدانسی A-SOURCE جریان پیوسته.

پارامترهای مبدل پیشنهادی	مقادیر پارامترها
ظرفیت خازن C_s	۱۰۰ میکروفاراد
ظرفیت خازن C_f	۲۲۰ میکروفاراد
اندوكتانس سلف ورودی	۶۳۵ میکروهانزی
تعداد دور سیم پیچی ($N_s : N_f$)	۱:۱
فرکانس کلیدزنی	۳۰ کیلوهرتز
مقاومت بار	۲۰۰ اهم
ضریب K	۰.۹

۱۱- شبیه‌سازی کامپیوتوری

در روش پیشنهادی با تزریق هارمونیک سوم به موج‌های سینوسی مبنای ضریب مدولاسیون افزایش می‌یابد. جهت شبیه‌سازی مبدل منبع امپدانس A-source از پارامترهای جدول ۵ استفاده می‌گردد. ضمن این که $D_{st} = ۰.۲۱۹$ و $M = ۰.۸$ شکل ۲۰-الف، ولتاژ خازن C_s را نشان می‌دهد. با جایگذاری مقادیر داده شده در (۱۲)، استرس ولتاژ خازن C_s برابر با ۱۱۴ ولت خواهد بود که با مقدار نشان داده شده در شکل ۲۰-الف برابر است. شکل ۲۰-ب، ولتاژ خازن C_f را نشان می‌دهد. با جایگذاری مقادیر داده شده در (۱۳)، استرس ولتاژ خازن C_f برابر با ۶۳ ولت خواهد بود که با مقدار نشان داده شده در

- various applications and demands," *Int. J. Eng., Sci., Technol.*, vol. 2, no. 1, pp. 103-115, 2010.
- [15] Y. P. Siwakoti, "Impedance-source networks for electric power conversion part i: a topological review," *IEEE Trans. on Power Electronics*, vol. 30, no. 2, pp. 699-716, Feb. 2015.
- [16] F. Z. Peng and F. Blaabjerg, "Impedance-source networks for electric power conversion part ii: review of control and modulation techniques," *IEEE Trans. on Power Electronics*, vol. 30, no. 4, pp. 1887-1906, Apr. 2015.
- [17] Y. P. Siwakoti and F. Blaabjerg, "A-source impedance network," *IEEE Trans. on Power Electronics*, vol. 31, no. 12, pp. 8081-8087, Dec. 2016.
- [18] V. G. Agelidis, P. D. Ziogas, and G. Joos, "Dead-band' PWM switching patterns," *IEEE Trans. on Power Electronics*, vol. 11, no. 4, pp. 522-531, Jul. 1996.
- [19] V. Blasko, "A hybrid PWM strategy combining modified space vector and triangle comparison methods," in *Proc. 27th Annu. IEEE Power Electron. Specialists Conf., PESC'96*, vol. 2, pp. 1872-1878, Baveno, Italy, 23-27 Jun. 1996.
- [20] M. S. Diab and A. A. Elserougi, "A pulsewidth modulation technique for high-voltage gain operation of three-phase Z-source inverters," *IEEE Trans. on Power Electronics*, vol. 4, no. 2, pp. 521-533, Jun. 2016.

فاطمه ظهراei در سال ۱۳۸۳ مدرک کارشناسی مهندسی برق خود را از دانشگاه شهید چمران اهواز و در سال ۱۳۸۸ مدرک کارشناسی ارشد در رشته مهندسی برق-الکترونیک را از دانشگاه آزاد اسلامی واحد بوشهر دریافت نمود. در سال ۱۳۹۷ موفق به اخذ درجه دکترا در رشته مهندسی برق از دانشگاه صنعتی شیراز گردید و اینک عضو هیأت علمی دانشگاه آزاد اسلامی واحد زرگان می‌باشد. زمینه‌هایی مورد علاقه ایشان عبارتند از: مبدل‌های الکترونیک قدرت، سیستم‌های انرژی نو و الگوریتم‌های بهینه سازی.

ابراهیم عبیرو در سال ۱۳۷۱ مدرک کارشناسی مهندسی الکترونیک خود را از دانشگاه علم و صنعت ایران، در سال ۱۳۷۵ مدرک کارشناسی ارشد الکترونیک و در سال ۱۳۸۶ موفق به اخذ درجه دکترا در رشته مهندسی برق-الکترونیک از دانشگاه علم و صنعت ایران گردید. ایشان هم‌اکنون دانشیار و از سال ۱۳۸۶ تا کنون عضو هیأت علمی دانشگاه صنعتی شیراز می‌باشد. زمینه‌هایی مورد علاقه ایشان عبارتند از: مدارهای مجتمع خطی، مبدل‌های الکترونیک قدرت، انرژی‌های تجدیدپذیر و الگوریتم‌های بهینه سازی.

امیرحسین وجائی در سال ۱۳۸۵ مدرک کارشناسی مهندسی برق خود را از دانشگاه شیراز، در سال ۱۳۸۷ مدرک کارشناسی ارشد برق و در سال ۱۳۹۲ موفق به اخذ درجه دکترا در رشته مهندسی برق از دانشگاه تربیت مدرس تهران گردید. ایشان هم‌اکنون استادیار و عضو هیأت علمی دانشگاه صنعتی شیراز می‌باشد. زمینه‌هایی مورد علاقه ایشان عبارتند از: الکترونیک قدرت، مبدل‌های الکترونیک قدرت طراحی کنترل و ساخت، انرژی‌های تجدیدپذیر.

می‌توان با افزایش تعداد دور سیم‌پیچی، بهره ولتاز را افزایش داد در حالی که در Z-source این امکان وجود ندارد.

مراجع

- [1] F. Z. Peng, "Z-source inverter," *IEEE Trans. Ind. Appl.*, vol. 39, no. 2, pp. 504-510, Mar./Apr. 2003.
- [2] P. C. Loh, D. M. Vilathgamuwa, C. J. Gajanayake, Y. R. Lim, and C. W. Teo, "Transient modeling and analysis of pulse-width modulated Z-source inverter," *IEEE Trans. Power Electron.*, vol. 22, no. 2, pp. 498-507, Mar. 2007.
- [3] M. Calais, J. Myrzik, T. Spooner, and V. G. Agelidis, "Inverters for single-phase grid connected photovoltaic systems: an overview," in *Proc. IEEE 33rd Annu. Power Electron. Specialists Conf.*, vol. 4, pp. 1995-2000, Cairns, Australia, 23-27 Jun. 2002.
- [4] M. K. Mishra and K. Karthikeyan, "An investigation on design and switching dynamics of a voltage source inverter to compensate unbalanced and nonlinear loads," *IEEE Trans. Ind. Electron.*, vol. 56, no. 8, pp. 2802-2810, Aug. 2009.
- [5] F. Z. Peng, M. Shen, and Z. Qian, "Maximum boost control of the Z-source inverter," *IEEE Trans. Power Electron.*, vol. 20, no. 4, pp. 833-838, Jul. 2005.
- [6] M. Shen, J. Wang, A. Joseph, F. Z. Peng, L. M. Tolbert, and D. J. Adams, "Constant boost control of the Z-source inverter to minimize current ripple and voltage stress," *IEEE Trans. Ind. Appl.*, vol. 42, no. 3, pp. 770-778, May/Jun. 2006.
- [7] O. Ellabban, J. Van Mierlo, and P. Lataire, "Comparison between different PWM control methods for different Z-source inverter topologies," in *Proc. 13th Eur. Conf. Power Electron. Appl., EPE'09*, 11 pp., Barcelona, Spain, 8-10 Sept. 2009.
- [8] M. S. Bakar, N. Rahim, K. H. Ghazali, and A. H. M. Hanafi, "Z-source inverter pulse width modulation: a survey," in *Proc. IEEE Int. Conf. Elect., Control, Comput. Eng., Pahang, Malaysia*, pp. 313-316, Pahang, Malaysia, 21-22 Jun. 2011.
- [9] I. Roasto, D. Vinnikov, J. Zakis, and O. Husev, "New shoot-through control methods for qZSI-based DC/DC converters," *IEEE Trans. Ind. Informat.*, vol. 9, no. 2, pp. 640-647, May 2013.
- [10] M. K. Nguyen, Y. G. Jung, and Y. C. Lim, "Single-phase AC-AC converter based on quasi-Z-source topology," *IEEE Trans. Power Electron.*, vol. 25, no. 8, pp. 2200-2210, Aug. 2010.
- [11] W. Qian, F. Z. Peng, and H. Cha, "Trans-Z-source inverters," *IEEE Trans. Power Electron.*, vol. 26, no. 12, pp. 3453-3463, Dec. 2011.
- [12] M. K. Nguyen, Y. C. Lim, and S. J. Park, "Improved trans-Z-source inverter with continuous input current and boost inversion capability," *IEEE Trans. Power Electron.*, vol. 28, no. 10, pp. 4500-4510, Oct. 2013.
- [13] C. J. Gajanayake, F. L. Luo, H. B. Gooi, P. L. So, and L. K. Siow, "Extended-boost Z-source inverters," *IEEE Trans. Power Electron.*, vol. 25, no. 10, pp. 2642-2652, Oct. 2010.
- [14] S. Thangaprakash and A. Krishnan, "Comparative evaluation of modified pulse width modulation schemes of Z-source inverter for